

0-36



ОБЪЕДИНЕННЫЙ ИНСТИТУТ ЯДЕРНЫХ ИССЛЕДОВАНИЙ  
ЛАБОРАТОРИЯ ЯДЕРНЫХ ПРОБЛЕМ

К.О. Оганесян, В. А. Ярба

Р - 1334

СПЕКТРЫ ЗАРЯЖЕННЫХ МЕЗОНОВ  
ПОД УГЛОМ  $90^\circ$  ОТ  $(n-p)$ -СОУДАРЕНИЙ  
ПРИ ЭНЕРГИИ НЕЙТРОНОВ  $\sim 600$  МЭВ

*пэтф, 1963, т 45, б 6, с 1835-1838.*

Дубна 1963

К.О. Оганесян, В.А. Ярба

P - 1334

2040/3  
40

СПЕКТРЫ ЗАРЯЖЕННЫХ МЕЗОНОВ  
ПОД УГЛОМ  $90^\circ$  ОТ ( $n-p$ )-СОУДАРЕНИЙ  
ПРИ ЭНЕРГИИ НЕЙТРОНОВ  $\approx 600$  МЭВ

Дубна 1963

Исследование процессов образования заряженных мезонов в соударениях нейтронов с протонами связано со значительными трудностями, обусловленными относительно малыми интенсивностями нейтронных пучков от ускорителей и небольшими сечениями этих процессов. Некоторые осложнения возникают также при интерпретации результатов опытов вследствие широкого энергетического распределения нейтронов.

Поэтому изучению реакций



посвящено небольшое число работ. В то же время исследование реакций (1) представляет интерес, так как только их изучение может дать информацию о величине сечения  $\sigma_{01}$  (классификация, введенная Розенфельдом<sup>1/1</sup>) — одного из трех парциальных сечений, используемых в феноменологической резонансной теории процессов образования мезонов в нуклон-нуклонных соударениях.

Спектры мезонов в реакциях (1) исследовались методом ядерных фотопластинок при энергиях нейтронов  $400 \text{ Мэв}^{2/2}$  и  $800 \text{ Мэв}^{3/3}$ . При этом в работе<sup>2/2</sup> было получено энергетическое распределение  $\pi^+$  и  $\pi^-$  мезонов под углом  $90^\circ$ . В работе<sup>3/3</sup> трудности, связанные с использованием одиночных фотопластинок и тормозящих фильтров, не позволили получить надежных данных об указанных спектрах.

Наиболее полные данные о реакциях (1) при энергии  $\sim 800 \text{ Мэв}$  в широком интервале углов были получены с помощью магнитного спектрометра. Предварительные результаты этой работы уже опубликованы<sup>4/4 x</sup>. При использовании электронной методики в результате измерений спектров  $\pi^+$ -мезонов приходится вводить ряд поправок на регистрацию аппаратуры протонов,  $\mu$ -мезонов и электронов. Наибольшей из этих поправок является поправка, учитывающая примесь электронов на больших углах измерений. Вследствие этого точность измерений спектров  $\pi^+$ -мезонов в низкоэнергичной части под этими углами существенно снижается.

В настоящей работе с целью повышения достоверности данных в указанной области углов независимым путем с помощью фотоэмulsionционной камеры были произведены измерения спектров  $\pi^+$ -мезонов под углом  $90^\circ$  в лабораторной системе. Этот метод фотоэмulsionционной камеры позволил более надежно изучать низкоэнергичные части спектров мезонов на угле  $90^\circ$  и продвинуться в сторону нескольких меньших энергий регистрируемых  $\pi^+$ -мезонов.

Эксперимент проводился на синхроциклотроне Лаборатории ядерных проблем ОИЯИ. Схема опыта показана на рис. 1. Пучок нейтронов проходил через коллиматор диаметром 50 мм в четырехметровой бетонной стене. На пути нейтронного пучка устанавливалась жидкостная водородная мишень-дьюар, ранее использовавшаяся в работе<sup>4/4</sup>. Мезоны, испущенные из

x) Подробная статья готовится в настоящее время к печати.

мишени под углом  $90^\circ$  к направлению пучка нейтронов отбирались при помощи свинцового коллиматора, имеющего форму щели длиной 125 мм и сечение  $10 \times 100 \text{ mm}^2$ , и регистрировались фотоэмulsionионной камерой. Эмульсионная камера состояла из 20 слоев фотоматериалов типа НИКФИ-Р толщиной 400 микрон и размером  $100 \times 100 \text{ mm}^2$ . На слон была нанесена маркировка <sup>15</sup>, что позволяло прослеживать следы, образованные мезонами в камере. Угловое разрешение детектора составляло  $\pm 1.5^\circ$ . Наполненная водородом мишень облучалась 7 часов при интенсивности нейтронного пучка  $10^5 \text{ нейтр./cm}^2 \text{ сек.}$

Энергия мезонов, входящих в эмульсионную камеру, определялась по пробегу в фотоматериале с учетом многократного кулоновского рассеяния. Пороговая энергия регистрируемых мезонов составляла 18 Мэв и определялась количеством вещества на пути мезонов до входа в эмульсионную камеру. Обработанные фотослои просматривались дважды и независимо под микроскопом с увеличением  $7 \times 10 \times 1.5$ . Просмотрено 4 слоя, в которых зарегистрировано 312 остановок  $\pi^+$ -мезонов и 1238 остановок  $\pi^-$ -мезонов (безлучевые остановки  $\pi^-$ -мезонов не регистрировались). Эффективности регистрации  $\pi^+$  и  $\pi^-$ -мезонов в нашем случае практически одинаковы и составляют  $\approx 0.7$ . ( $\epsilon_{\pi^+} = 0.74 \pm 0.08$ ;  $\epsilon_{\pi^-} = 0.68 \pm 0.08$ ). Найденные  $\pi^-$ -мезоны прослеживались от точки остановки на пути 10–15 мм вдоль следа, т.е. до места, где энергия  $\pi^-$ -мезона уже составляла 20–25 Мэв и многократное кулоновское рассеяние становится несущественным. При этом, если след мезона не "смотрел" на мишень через свинцовый коллиматор, то он отбрасывался как фоновый. В результате прослеживания осталось 424  $\pi^+$  и 328  $\pi^-$ -мезонов, которые отнесены к мезонам, образованным в водородной мишени. Для определения надежности такого отбора была прослежена часть мезонов разных энергий до полного выхода их из камеры. При этом оказалось, что возможная ошибка в отборе мезонов, выходящих из водородной мишени, не превышает 5%.

В тех же геометрических условиях проводился эксперимент с мишенью без водорода. Из этой камеры просмотрен 1 слой, и проведено аналогичное прослеживание. Направленный фон от пустой мишени одинаков для  $\pi^+$  и  $\pi^-$ -мезонов и составляет  $\approx 20\%$ .

При построении энергетических спектров  $\pi^-$ -мезонов вводились поправки на телесный угол детектора и на выбывание  $\pi^+$ -мезонов из-за ядерного взаимодействия в эмульсии <sup>16</sup>.

Отношение выхода  $\pi^+$  и  $\pi^-$ -мезонов от  $(p-p)$ -соударений с учетом всех поправок в нашем случае равно  $0.94 \pm 0.10$ . При вычислении этого отношения учитывалась поправка на "безлучевые" остановки  $\pi^-$ -мезонов, которые составляют для эмульсии  $\approx 27\%$  <sup>17</sup>. Полученное отношение согласуется с результатами работы <sup>14</sup> и указывает на отсутствие заметной интерференции между амплитудами, соответствующими парциальным сечениям  $\sigma_{01}$  и  $\sigma_{11}$ .

Энергетические спектры  $\pi^-$ -мезонов в лабораторной системе представлены на рис. 2 в относительных единицах. Найденные в настоящей работе спектры  $\pi^-$ -мезонов в пределах ошибок согласуются с результатами, полученными методом магнитного спектрометра в работе <sup>14</sup>. Несколько меньший энергетический порог регистрируемых мезонов и большая точность измерений в мезоэнергетической части спектра позволяют точнее проследить форму спектра мезонов в этой области по сравнению с результатами, полученными электронной методикой. В пределах ошибок опыта спектры  $\pi^+$  и  $\pi^-$ -мезонов одинаковы.

Найденные спектры  $\pi^-$ -мезонов относятся к спектру нейтронов, имеющему широкое энергетическое распределение <sup>18</sup>. Однако, как показывает анализ, результаты измерений

можно отнести к энергии нейтронов 800 Мэв. Максимум экспериментального спектра  $\pi^-$ -мезонов незначительно сдвигается по отношению к максимуму распределения для энергии нейтронов 800 Мэв.

Верхняя граница наблюдаемых мезонных спектров находится в соответствии с вычисленным максимальным возможным значением энергии  $\pi^-$ -мезонов.

Характерной особенностью полученных спектров  $\pi^-$ -мезонов является то, что основная часть  $\pi^-$ -мезонов имеет энергию, значительно меньшие максимально возможной. Энергия, соответствующая максимуму энергетического распределения, составляет  $\approx 40\text{--}50\%$  от максимально возможной. Аналогичная картина для этих же энергий наблюдается и для спектров  $\pi^0$ -мезонов, образующихся в  $(p-p)$ -соударениях <sup>19</sup>. В то же время исследования реакции  $p p \rightarrow \pi^+ p p$  показывают, что в этом случае максимумы спектров  $\pi^+$ -мезонов в значительной мере сдвинуты в сторону больших энергий. Мезоны в последней реакции уносят  $70\text{--}80\%$  доступной энергии <sup>10</sup>.

Все эти факты согласуются с резонансной моделью процессов мезонообразования, развитой Мандельстамом <sup>11</sup>. Последняя предполагает, что основной вклад в мезонообразование вносит переход, при котором образующийся  $\pi^-$ -мезон и один из нуклонов взаимодействуют в состоянии с  $T=3/2$ ,  $I=3/2$ . Как известно, она дает наилучшее описание всех экспериментальных данных для энергий протонов в области 500–700 Мэв.

Сечение реакции (1), если его выразить через парциальные сечения, равно:

$$\sigma(p p \rightarrow \pi^+ + \dots) = \frac{1}{2} (\sigma_{11} + \sigma_{01}). \quad (2)$$

Резонансные переходы не дают вклада в сечение  $\sigma_{01}$ . Поэтому, с точки зрения резонансной модели, это сечение не должно давать существенного вклада в реакцию (1). Для  $\sigma_{11}$  возможны резонансные  $R p$ -переходы, для которых характерен спектр с преобладанием  $\pi^-$ -мезонов, уносящих энергию, значительно меньшую максимально возможной. Результаты исследования реакции  $p p \rightarrow \pi^0 p p$  <sup>19</sup>, сечение которой выражается только через  $\sigma_{11}$ , согласуются с этим предположением. Подобные спектры  $\pi^+$ -мезонов, полученных в  $(p-p)$ -соударениях со спектрами  $\pi^0$ -мезонов в  $(p-p)$ -соударениях (для близкой энергии нуклонов), таким образом, может свидетельствовать о том, что в обоих случаях преобладающими являются резонансные  $R p$ -переходы и вклад сечения  $\sigma_{01}$  в реакции (1), по-видимому, мал.

Авторы выражают благодарность проф. В.П.Джелепову за полезные советы и замечания и Л.И.Лапидусу и В.М.Сидорову за обсуждение результатов работы.

#### Л и т е р а т у р а

1. A.H.Rosenfeld. Phys. Rev., 96, 130 (1954).
2. G.Jodl. Phys. Rev., 98, 1330 (1955).
3. В.М. Сидоров. ЖЭТФ, 28, 727 (1955).
4. V.Dzhelopov, V.Kiselev, K.Oganesyan, V.Flyagin. Proc. 1960 Ann. Intern. Conf. on High-Energy Physics at Rochester.
5. В.М. Сидоров, М.И. Трухин. ПТЭ, 9, 109 (1957).

6. G.Bernardini, E.Booth, L.Lederman. Phys. Rev., 83, 1075 (1951); Phys. Rev., 80, 924 (1950); Phys. Rev., 82, 105 (1951); Minguzzi, Nuovo Cim., 10, 1100 (1958); Puppi, Suppl. Nuov. Cim., 11, 438 (1954); G.Bernardini and Levy. Phys. Rev., 84, 610 (1952).
7. F.Adelman, S.Jones. Science, 111, 226 (1950).
8. В.Киселев, К.Оганесян, Р.Позе, Ф.В.Флягин. ЖЭТФ, 35, 812 (1958).
9. Ю.Баюков, А.Типкин. ЖЭТФ, 32, 953 (1957).
10. М.Мещеряков, В.Зрелов, Б.Неганов и др. ЖЭТФ, 2, 31, 45 (1956); Б.Неганов, О.Савченко. ЖЭТФ, 32, 1285 (1957); А.Мешковский и др. ЖЭТФ, 31, 580 (1958).
11. S.Mandelstam. Proc. Roy. Soc., A244, 491 (1958).

Рукопись поступила в издательский отдел  
12 июня 1963 г.

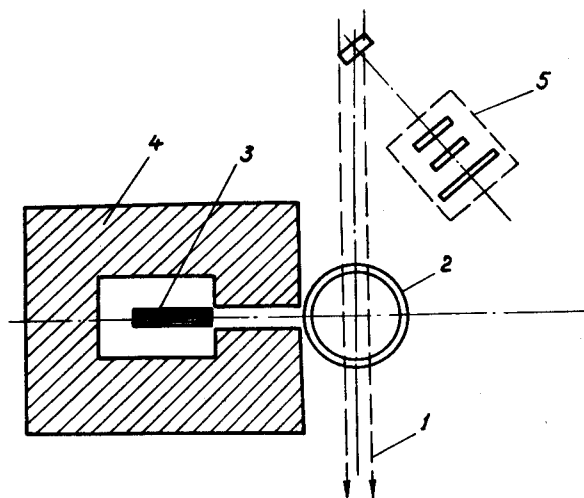


Рис. 1. Схема опыта. 1 - пучок нейтронов, 2 - сосуд с жидким водородом, 3 - эмульсионная камера, 4 - свинцовая защита, 5 - мониторный телескоп.

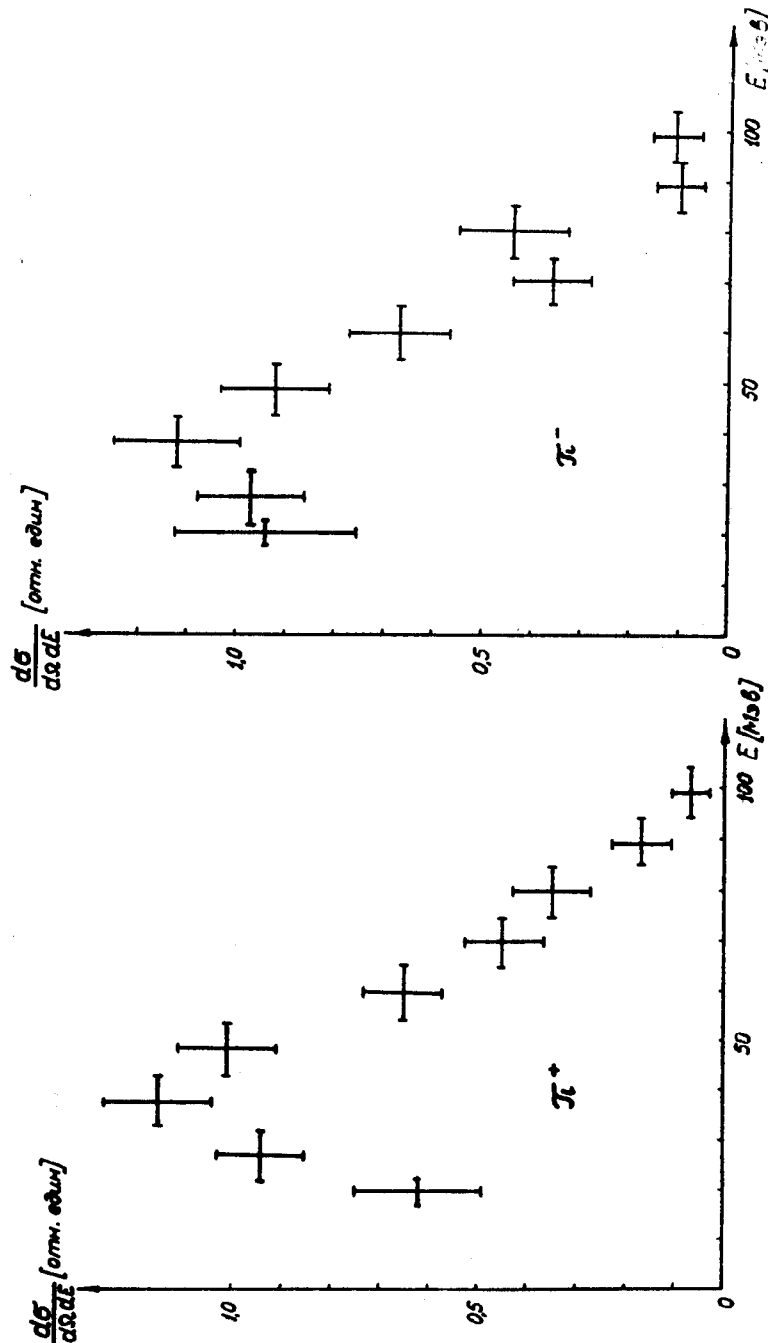


Рис. 2. Энергетические спектры  $\pi^+$ -мезонов от реакции  $p + \pi^0 \rightarrow \pi^+ + \dots$  под углом  $80^\circ$  в лабораторной системе координат.